

اثر غنی‌سازی هوا با اکسیژن بر سوزش پلی‌اتیلن در رم جت ورتکسی

فاطمه دریجانی^۱، محمد حسن شولاوی^۲، محمد حسن سعیدی^۳، علی اصغر مظفری^۴، اکبر غفوریان^۵

آزمایشگاه ترمودینامیک، دانشگاه صنعتی شریف

Fatemeh.darijani@gmail.com

چکیده

در این تحقیق حریان ورتکسی و غنی‌سازی هوا با اکسیژن جهت افزایش نرخ سوزش سوخت جامد در موتورهای رم جت مادون صوت به صورت تجربی مورد بررسی قرار گرفته است. ورتکس با بالا بردن نرخ سوزش باعث بهبود بازده نیروی رانش می‌شود. بدین ترتیب امکان استفاده از موتورهای رم جت مادون صوت را در کاربردهای خاص مانند اضافه کردن آنها به اجسام رها شده از هواپیما جهت افزایش طول پرواز بوجود می‌آورد. در موتور آزمایشگاهی طراحی و ساخته شده، از پلی‌اتیلن به عنوان سوخت جامد و هوای غنی شده با اکسیژن، به عنوان اکسیدکننده استفاده شده است. برای ایجاد ورتکس، اکسیدکننده از انتهای موتور به صورت مماسی وارد محفظه می‌شود. حریان ورتکسی به سمت سر موتور حرکت کرده و پس از طی طول محفظه و جارو کردن سطح پلی‌اتیلن، جهت ورتکس عکس شده و با شعاع کمتری نسبت به ورتکس بیرونی، به سمت خروجی نازل حرکت می‌کند و از آن خارج می‌شود. نرخ سوزش پلی‌اتیلن برای هوای غنی شده با اکسیژن بین ۲۷/۶ الی ۳۵/۱ درصد، در موتور ورتکسی اندازه‌گیری شده است. دبی جرمی اکسیدکننده ورودی نیز به عنوان یک متغیر موثر بر عملکرد در محدوده ۴/۱ تا ۱۰/۶ گرم بر ثانیه، تغییر داده شد و اثرات آن بر نرخ سوزش مورد مطالعه قرار گرفت. با افزایش ۷/۵ درصدی اکسیژن و ۲/۶ برابر کردن دبی جرمی اکسیدکننده، نرخ سوزش از ۰/۱۶ به ۰/۴۵ گرم بر ثانیه افزایش یافت. سرعت سوزش پلی‌اتیلن در بهترین شرایط در محدوده تست شده ۰/۱۶ میلیمتر بر ثانیه است. از نتایج حاصل در طراحی این نوع موتورها می‌توان استفاده نمود.

واژه‌های کلیدی: رم جت - حریان ورتکسی - موتور ورتکسی - سوخت جامد - نرخ سوزش

۱- مقدمه

افزایش طول پرواز اجسام رها شده از هواپیما در سالهای اخیر در کشور اهمیت زیادی پیدا کرده است. هواپیما این اجسام را در سرعتهای مادون صوت رها می‌کند و به علت محدودیت سیستمهای هدایت و کنترل، باید با سرعت مادون صوت به پرواز خود ادامه دهنده. جهت افزایش طول پرواز، می‌توان روی آنها موتور نصب نمود. وزن و ابعاد این موتورها باید در محدوده قابل قبول برای خود جسم و هواپیمای حامل باشد. به علت سرعت مادون صوت، زمان کارکرد این موتورها نسبتاً طولانی و در حد چند دقیقه باید باشد. موتورهای سوخت جامد با سوخت‌های قابل دسترس بدلیل کوتاه بودن زمان سوزش و موتورهای سوخت مایع بدلیل حجم بودن سیستم ذخیره سوخت و سوخت‌رسانی قابل استفاده نیستند. در چنین موقوعی موتور رم جت سوخت جامد ورتکسی می‌تواند جایگزین مناسبی باشند. به علت سرعت مادون صوت، فشار داخل محفظه احتراق پایین خواهد بود در حدی که نازل خروجی به خفگی نخواهد رسید و این نکته چالش اصلی در ساخت این موتورها خواهد بود. استفاده از حریان ورتکسی و غنی‌سازی هوا با اکسیژن جهت افزایش نرخ سوزش در رفع این چالش می‌توانند کارگشا باشند. با ورتکسی کردن

^۱- دانشجوی کارشناسی ارشد، دانشکده مهندسی هوا فضا

^۲- کارشناس ارشد، دانشکده مهندسی هوا فضا

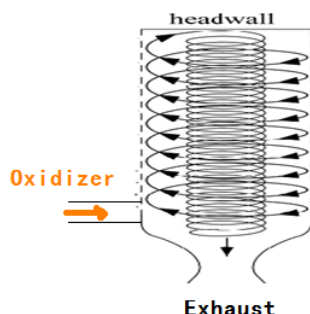
^۳- استاد، دانشکده مهندسی مکانیک

^۴- استاد، دانشکده مهندسی مکانیک

^۵- استادیار، دانشکده مهندسی هوا فضا

جريان سرعت مماسی بالا روی سطح سوخت جامد در حال سوزش ایجاد می‌گردد و پدیده سوزش فرسایشی موجب افزایش نرخ و سرعت سوزش می‌شود.

در شکل ۱ چگونگی جريان در موتور ورتکسی نشان داده شده است. اکسیدکننده از انتهای محفظه احتراق و قبل از ورودی نازل بصورت مماسی وارد می‌شود. ورود اکسیدکننده بصورت مماسی باعث القاء گرادیان فشار شعاعی شده و همچنین نیروی جانب مرکز القایی باعث حرکت مارپیچی رو به جلوی اکسیدکننده بر روی سطح گرین سوخت می‌شود. روش ورود اکسیدکننده باعث ایجاد یک ورتکس خارجی به اندازه شعاع داخلی گرین سوخت شده که پس از طی طول محفظه به سر موتور رسیده و ورتکس داخلی تشکیل می‌شود. این ورتکس با شعاع کوچکتر و در جهت مخالف ورتکس خارجی به سمت نازل حرکت کرده و از آن خارج می‌شود [۱].



شکل ۱: چگونگی ورود اکسیدکننده و تشکیل جريان ورتکسی داخل محفظه احتراق [۱].

وایاس^۶ و مجلانی^۷ در سال ۱۳۸۲ حرکت دو جهته هم محور و گردابهای یک سیال را در یک محفظه احتراق استوانهای بررسی کردند و حل تحلیلی برای میدان سرعت و فشار جريان ارائه دادند. مدل تحلیلی ایشان با فرض دائمی، چرخشی، متقارن محوری، غیر قابل تراکم و غیر لزج بودن سیال پایه‌ریزی شده بود. با اضافه کردن فرض لزجی توسط وایاس مدل کنترل ورتکس اجباری نزدیک محور محفظه بهبود داده شد [۲ و ۳]. مجلانی و وایاس در سال ۱۳۸۳ یک حل تقریبی برای ورتکس دووجهه برای توصیف حرکت توده گاز در محفظه موشک هیبرید ورتکسی با فرض‌های شبهلزج، تراکمناپذیری، متقارن، چرخشی و دائمی ارائه دادند [۴].

فرووردین در سال ۱۳۸۴ محل وقوع احتراق را در یک محفظه احتراق ورتکسی با استفاده از تصویربرداری و شبیه سازی عددی، تعیین کرد [۵]. کارگر در سال ۱۳۸۵ میزان تشعشع حرارتی به دیوارهای و ضریب انتقال حرارت همرفتی در داخل دیوارهای یک محفوظه احتراق ورتکسی ازماشگاهی را اندازه‌گیری کرد [۶]. امانپور قرایی در سال ۱۳۸۶ فرکانس‌های ناپایداری و تأثیر پارامترهای عملکردی بر میزان ناپایداری را اندازه‌گیری کرد. ایشان متوجه شد که موتور ورتکسی نسبتاً موتور پایداری می‌باشد [۷]. بشارت شفیعی در سال ۱۳۸۷ موتور هوافنگی ورتکسی با سوخت گازی را ساخته و تست کرد. همچنین ورودی هوا با هندسه بهینه برای ایجاد کمترین افت فشار و تولید ورتکس در محفظه در سرعت‌های پروازی مادون صوت را طراحی کرد [۸].

۲-محاسبه سرعت سوزش

⁶-Vyas

⁷-Majdalani

جهت محاسبه سرعت سوزش می‌توان از معادله پیوستگی برای یک جسم جامد در حال سورزش سطحی بصورت زیر استفاده نمود:

$$\frac{d}{dt} \iiint_v \rho_s dv + \iint_s V_B \cdot \vec{n} dA = 0 \quad (1)$$

با استفاده از قضیه دیورجانس، رابطه گرین و فرض همگنی فازهای جامد و گازی، یکنواختی سرعت سوزش سوخت در تمام سطح در حال سوزش، معادله ۱ به معادله ۲ تبدیل می‌شود.

$$\frac{dM}{dt} = -v_b \rho_s A_b \quad (2)$$

که، M ، v_b ، A_b ، V_B ، ρ بترتیب تغییرات جرم سوخت جامد، بزرگی و بردار سرعت سوزش سوخت جامد، مساحت سوختن، بردار عمود بر سطح و چگالی جرم جامد را نشان می‌دهند [۱۰]. با اندازه‌گیری جرم پلی‌اتیلن قبل و بعد از تست تغییرات جرم سوخت جامد بدست می‌آید و با تقسیم آن بر مدت زمان روشن بودن موتور، نرخ سوزش سوخت پلی‌اتیلن محاسبه می‌شود. برای بدست آوردن سرعت سوزش پلی‌اتیلن از فرضیات زیر استفاده می‌کنیم:

۱. مساحت در حال سوختن، مساحت جانبی استوانه با شعاع داخلی گرین سوخت باشد
۲. گرین سوخت شکل خود را در طول تست حفظ کند و اگر تغییر شکل در پسمند مشاهده شد مربوط به ثانیه‌های آخر تست است که از اثر آن صرفنظر شده است.

با جایگذاری نرخ سوزش، چگالی و مساحت در حال سوختن در معادله ۲ می‌توان سرعت سوزش و پلی‌اتیلن را بدست آورد. درصد اکسیژن عبارت است از نسبت مجموع دبی جرمی اکسیژن هوا و اکسیژن اضافه شده برای غنی‌سازی، به دبی جرمی اکسید کننده.

۳-تجهیزات آزمایشگاهی

به علت کمبود منابع اطلاعاتی مناسب راجع به نرخ سوزش سوخت جامد در فشارهای کاری پایین، نسبت به طراحی و ساخت یک محفظه احتراق آزمایشگاهی جهت شبیه‌سازی جریان ورتكسی و اندازه‌گیری نرخ سوزش پلی‌اتیلن اقدام گردید. درصد غنی‌سازی هوا با اکسیژن و دبی جریان ورودی به محفظه احتراق به عنوان دو عامل مهم در تعیین نرخ سوزش بررسی گردید.

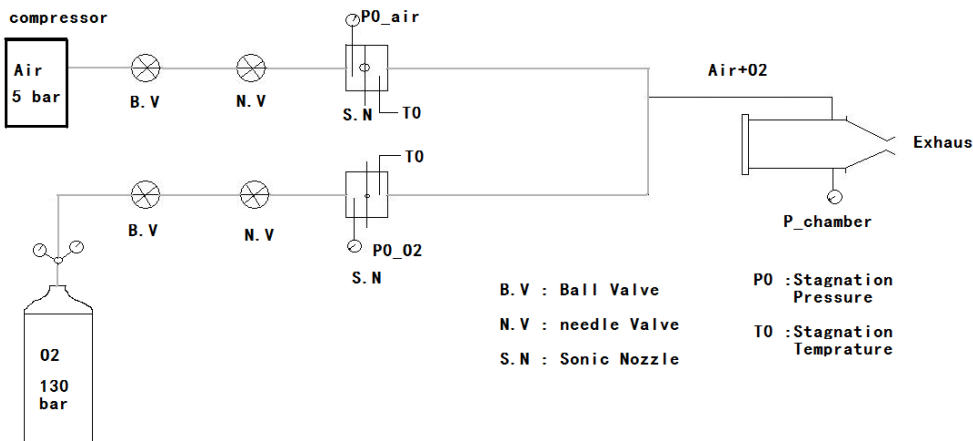
به منظور انجام آزمایش‌های تجربی، از یک مجموعه آزمایشگاهی شامل کمپرسور هوا، مخزن اکسیژن خالص، شیرهای کنترل و سایر وسایل اندازه‌گیری دبی جرمی، فشار و دما استفاده شده است. مطابق شکل ۲، محفظه احتراق به قطر ۹۰ میلی‌متر و طول ۲۰۰ میلی‌متر است. نازل بوسیله فلنچ به محفظه متصل شده. در این مجموعه آزمایش‌ها، از نازلی با گلولگاه به قطر ۱۸ میلی‌متر و خروجی ۲۵ میلی‌متر با زاویه واگرایی ۴ درجه و گرین سوخت پلی‌اتیلن به طول ۱۰۰ میلی‌متر و شعاع ۴۱ میلی‌متر استفاده شده است.

سومین کنفرانس سوخت و احتراق ایران

تهران - دانشگاه صنعتی امیرکبیر - اسفند ماه ۱۳۸۸

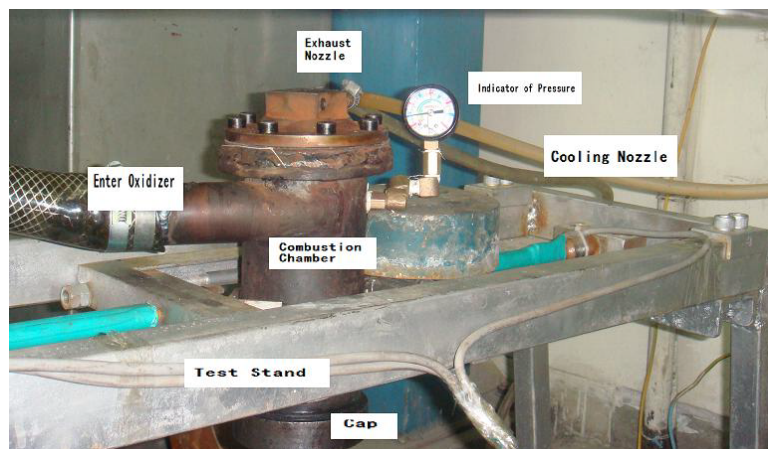


دانشگاه صنعتی امیرکبیر
دانشکده مهندسی هوافضا



شکل ۲ شماتیک دستگاه آزمایش.

دی هوا و اکسیژن بوسیله شیر توبی و شیر سوزنی تنظیم، پس از عبور از شیپوره صوتی با هم مخلوط شده و بطور مماسی از لوله‌ای به قطر ۳۷ میلی‌متر وارد محفظه احتراق می‌شوند. نازل این موتور توسط آب خنکاری شده و یک فشارسنج برای نشان دادن فشار محفظه احتراق به بدنه موتور نصب شده است. شماتیک موتور رم جت ورتكسی سوخت جامد، نگهدارنده و مجموعه‌های مورد نیاز در شکل ۳ نشان داده شده است.



شکل ۳ شماتیک رم جت ورتكسی سوخت جامد.

در پایان با استفاده از فعال ساز، موتور روشن شده و آزمایش‌ها و اندازه‌گیری‌های مربوطه مطابق جدول ۱ انجام می‌پذیرند. این آزمایش‌ها در چهار سری انجام شده که در هر سری، دبی جرمی کل اکسیدکننده ثابت نگهداشته شده و در چهار مرحله مقدار درصد اکسیژن بین ۲۷/۶ الی ۳۵/۱ درصد تغییر کرده است. همچنین در هر کدام از مجموعه آزمایشها دبی جرمی کل اکسیدکننده بین ۴/۱ الی ۱۰/۶ گرم بر ثانیه می‌باشد.

سومین کنفرانس سوخت و احتراق ایران

تهران - دانشگاه صنعتی امیرکبیر - اسفند ماه ۱۳۸۸



دانشگاه صنعتی امیرکبیر
دانشکده مهندسی هواپیما

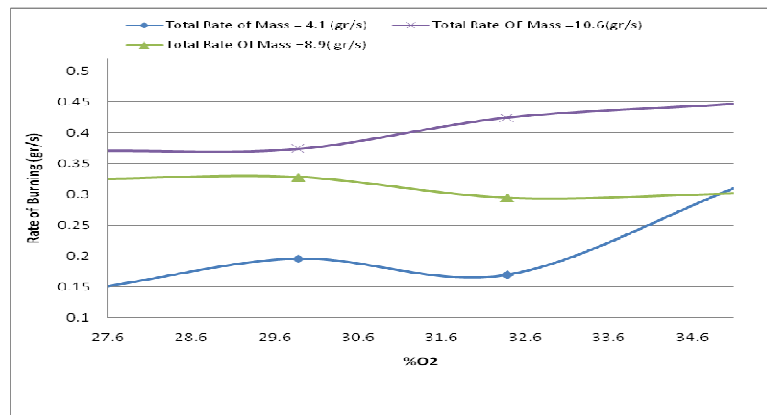
جدول ۱ برنامه تست‌های ۱ الی ۱۶.

شماره تست	دبي جرمی کل اکسیدکننده (گرم بر ثانیه)	درصد اکسیژن دبي جرمی کل اکسیدکننده	دبي جرمی هوا (گرم بر ثانیه)	دبي جرمی اکسیژن اضافه (گرم بر ثانیه)
۱	۴/۱	۲۷/۶	۳/۸	۰/۳
۲	۴/۱	۲۹/۹	۳/۷	۰/۴
۳	۴/۱	۳۲/۴	۳/۶	۰/۵
۴	۴/۱	۳۵/۱	۳/۵	۰/۶
شماره تست	دبي جرمی کل اکسیدکننده (گرم بر ثانیه)	درصد اکسیژن دبي جرمی کل اکسیدکننده	دبي جرمی هوا (گرم بر ثانیه)	دبي جرمی اکسیژن اضافه (گرم بر ثانیه)
۵	۶/۵	۲۷/۶	۶/۰	۰/۵
۶	۶/۵	۲۹/۹	۵/۹	۰/۶
۷	۶/۵	۳۲/۴	۵/۷	۰/۸
۸	۶/۵	۳۵/۱	۵/۵	۱/۰
شماره تست	دبي جرمی کل اکسیدکننده (گرم بر ثانیه)	درصد اکسیژن دبي جرمی کل اکسیدکننده	دبي جرمی هوا (گرم بر ثانیه)	دبي جرمی اکسیژن اضافه (گرم بر ثانیه)
۹	۸/۹	۲۷/۶	۸/۲	۰/۷
۱۰	۸/۹	۲۹/۹	۸/۰	۰/۹
۱۱	۸/۹	۳۲/۴	۷/۸	۱/۱
۱۲	۸/۹	۳۵/۱	۷/۶	۱/۳
شماره تست	دبي جرمی کل اکسیدکننده (گرم بر ثانیه)	درصد اکسیژن دبي جرمی کل اکسیدکننده	دبي جرمی هوا (گرم بر ثانیه)	دبي جرمی اکسیژن اضافه (گرم بر ثانیه)
۱۳	۱۰/۶	۲۷/۶	۹/۸	۰/۸
۱۴	۱۰/۶	۲۹/۹	۹/۵	۱/۱
۱۵	۱۰/۶	۳۲/۴	۹/۳	۱/۳
۱۶	۱۰/۶	۳۵/۱	۹/۰	۱/۶

۳- تحلیل نتایج

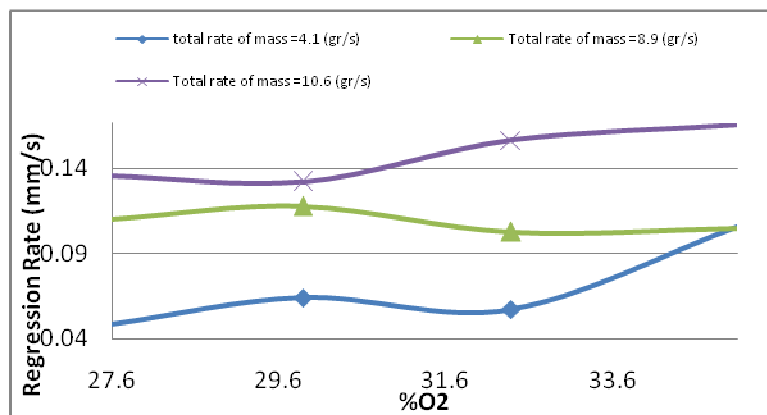
نرخ سوزش پلی‌اتیلن بر حسب درصد اکسیژن در شکل ۴ نشان داده شده است. مقدار غنی‌سازی از ۲۷/۶ الی ۳۵/۱ درصد افزایش یافته است. از داده‌های تست‌ها می‌توان نتیجه گرفت که در دبی کم اکسیدکننده درصد غنی‌سازی با اکسیژن به صورت قابل توجهی نرخ سوزش پلی‌اتیلن را افزایش می‌دهد. طبق نتایج بدست آمده غنی‌سازی با اکسیژن تأثیر قابل توجهی بر نرخ سوزش ندارد. این مشاهده می‌تواند بدین معنی باشد که در شرایط ایجاد شده در محفظه احتراق با احتساب فشار و دمای احتراق مقدار ملکول‌های پلیمری پلی‌اتیلن که می‌توانند شکسته و برای احتراق مهیا شوند محدود است. اگر در دبی

جرمی اکسیدکننده به اندازه کافی برای احتراق آنها اکسیژن وجود داشته باشد دیگر غنی‌سازی با اکسیژن بی اثر می‌شود. در نتیجه در دبی جرمی ۴/۱ گرم در ثانیه اکسیژن کافی برای احتراق ملکول‌های مهیا شده پلی‌اتیلن وجود ندارد ولی در دبی جرمی‌های بالاتر موجود است.



شکل ۴ نرخ سوزش پلی‌اتیلن بر حسب درصد اکسیژن.

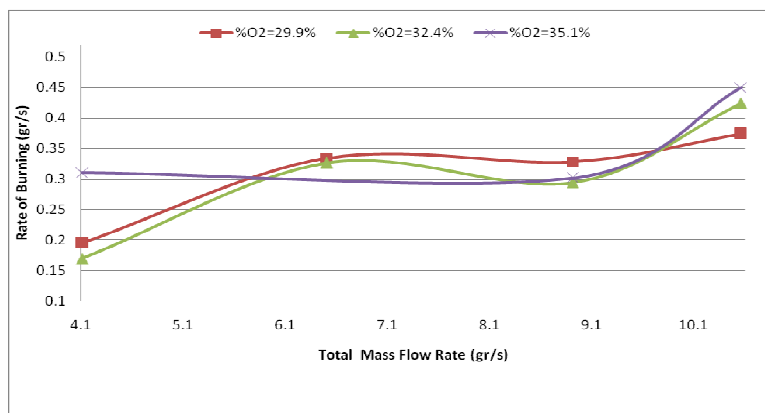
سرعت سوزش پلی‌اتیلن بر حسب درصد اکسیژن در شکل ۵ نشان داده شده است. همانطور که بیان شد با افزایش سرعت مماسی بوسیله جریان ورتکسی، روی سطح درحال سوزش و با استفاده از رابطه ۲ و اطلاعات شکل ۴، سرعت سوزش محاسبه و ارائه شده است. با تغییر ۷/۵ درصدی غنی‌سازی اکسیژن در دبی جرمی کل اکسیدکننده در دبی جرمی ۴/۱ گرم بر ثانیه سرعت سوزش پلی‌اتیلن افزایش می‌یابد.



شکل ۵ سرعت سوزش پلی‌اتیلن بر حسب درصد اکسیژن.

نرخ سوزش پلی‌اتیلن بر حسب دبی جرمی اکسیدکننده در شکل ۶ نشان داده شده است. در این نمودار مقدار غنی‌سازی در چهار مرحله از مقدار ۳۵/۱ تا ۲۷/۶ درصد تغییر داده شده است. دبی جرمی اکسیدکننده از ۴/۱ الی ۱۰/۶ گرم بر ثانیه افزایش یافته است. از داده‌های تست‌ها می‌توان نتیجه گرفت که با افزایش دبی جرمی اکسیدکننده نرخ سوزش پلی‌اتیلن

افزایش می‌یابد. افزایش دبی جرمی اکسیدکننده باعث احتراق کاملتری شده که دلالت بر دمای احتراق بالاتر دارد. بنابراین نرخ سوزش پلی‌اتیلن افزایش می‌یابد.



شکل ۶ نرخ سوزش پلی‌اتیلن بر حسب دبی جرمی اکسیدکننده.

۵-نتیجه‌گیری

در جسم پرنده مورد نظر به علت سرعت مادون صوت و پایین بودن فشار سکون محفظه احتراق، نرخ سوزش کم است. در این راستا استفاده از خاصیت جریان ورتكسی به همراه غنی‌سازی هوای ورودی با اکسیژن خالص، باعث افزایش نرخ سوزش و سرعت سوزش سوخت جامد می‌شود. ورود اکسیدکننده بصورت مماسی باعث القاء گرادیان فشار شعاعی شده و باعث حرکت مارپیچ شده و باعث جدایش ملکول‌های سطح پلی‌اتیلن خواهد شد. به منظور اندازه‌گیری نرخ سوزش و سرعت سوزش پلی‌اتیلن مجموعه‌ای طراحی و ساخته شد. نرخ سوزش در چهار دبی جرمی اکسیدکننده برای چهار درصد اکسیژن اندازه‌گیری شد. با افزایش درصد اکسیژن برای دبی ۴/۱ گرم بر ثانیه نرخ سوزش افزایش می‌یابد اما برای دبی‌های جرمی اکسیدکننده بالاتر اثر محسوسی ندارد و همچنین افزایش دبی جرمی اکسیدکننده باعث افزایش نرخ سوزش می‌شود.

مراجع

- 1- Majdalani, J. and Halpenny, E. K., "The Bidirectional Vortex with Sidewall Injection", 44th AIAA/ASME/SAE/ASEE Joint Propulsion Conference & Exhibit, 21 - 23 July 2008, Hartford, CT , AIAA 2008-5018, 2008 .
- 2- Vyas, A. B., Majdalani, J., Chiaverini, M. J., "The Bidirectional Vortex, Part 1: An Exact Inviscid Solution", AIAA Paper 2003-5052, 2003.
- 3- Vyas, A. B., Majdalani, J., Chiaverini, M.J, "The Bidirectional Vortex, Part 2: Viscous Core Corrections", AIAA Paper, 2003-5053, 2003
- 4- Majdalani, J., Vyas, A. B., "Rotational Axisymmetric Mean Flow for the Vortex Injection Hybrid Rocket Engine", 4th AIAA/ASME/SAE/ASEE Joint Propulsion Conference and Exhibit , 11-14 July 2004, Fort Lauderdale, Florida, 2004

سومین کنفرانس سوخت و احتراق ایران

تهران - دانشگاه صنعتی امیرکبیر - اسفند ماه ۱۳۸۸

- ۵ فروردین، احسان، مدلسازی انتقال حرارت برای موتور گردابهای با استفاده از ساختار شعله، پایان نامه کارشناسی ارشد، دانشگاه صنعتی شریف، دانشکده مهندسی مکانیک، ۱۳۸۴.
- ۶ کارگر، مهدی، بررسی تجربی نرخ حرارت آزاد شده انتقال حرارت تشعشعی در موتور گردابهای، پایان نامه کارشناسی ارشد، دانشگاه صنعتی شریف، دانشکده مهندسی مکانیک، ۱۳۸۵.
- ۷ امانپور قرایی، حسن، تحلیل پاسخ احتراق موتور ورتكسی سوخت مایع، پایان نامه کارشناسی ارشد، دانشگاه صنعتی شریف، دانشکده مهندسی مکانیک، ۱۳۸۶.
- ۸ بشارت شفیعی، سمیه، مدلسازی تغوری و تجربی طرح ورتكس برای کاربرد رمجمت مادون صوت، پایان نامه کارشناسی ارشد، دانشگاه صنعتی شریف، دانشکده مهندسی هوافضا، ۱۳۸۷.
- 9- Kuo, K. K., *Principles of Combustion*, JOHN WILEY & SONS, New York, Chichester, Brisbane, Toronto, 1986.